

FIG. 1 (e)

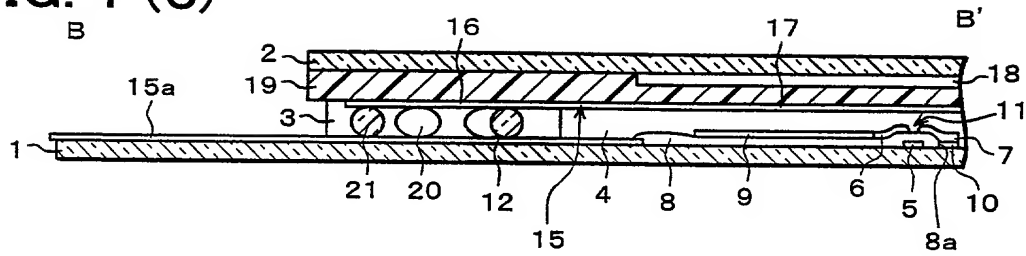


FIG. 1 (a)

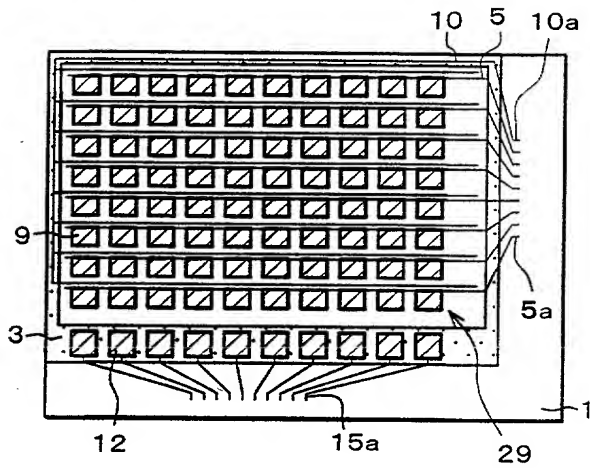


FIG. 1 (b)

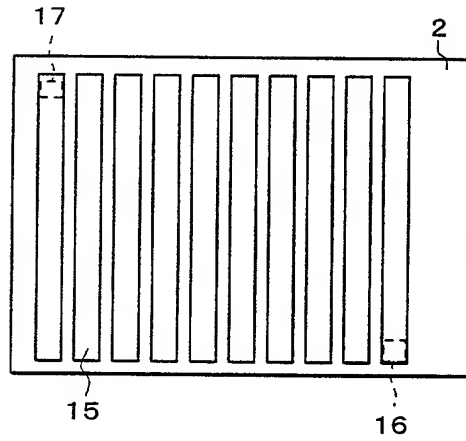


FIG. 1 (c)

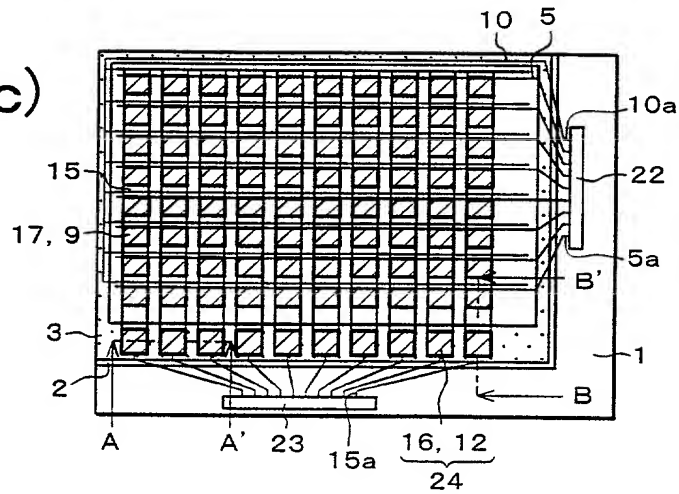


FIG. 1 (d)

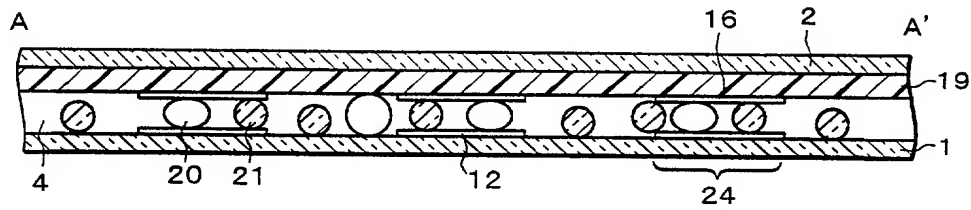


FIG. 1 (e)

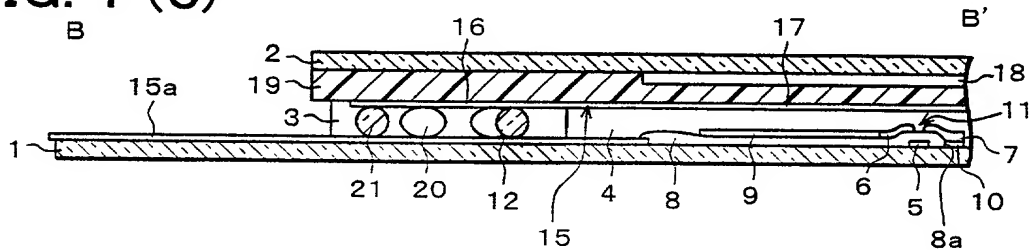


FIG. 2 (a)

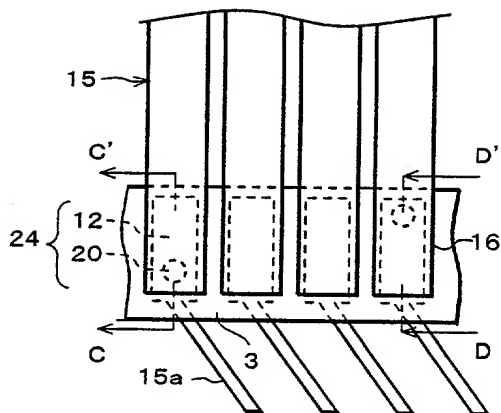


FIG. 2 (d)

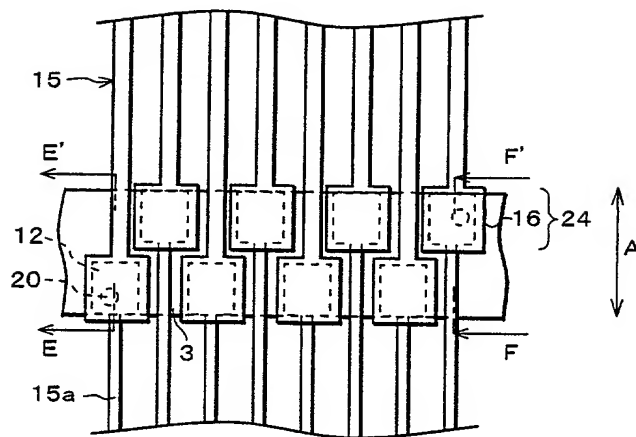


FIG. 2 (b)

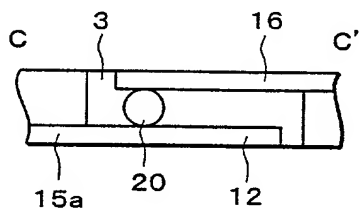


FIG. 2 (e)

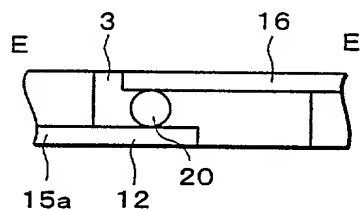


FIG. 2 (c)

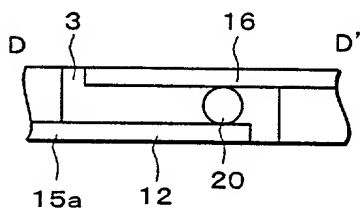


FIG. 2 (f)

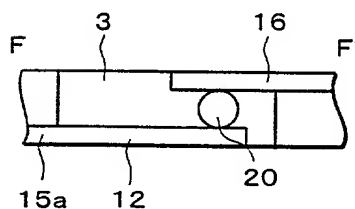


FIG. 3 (a)

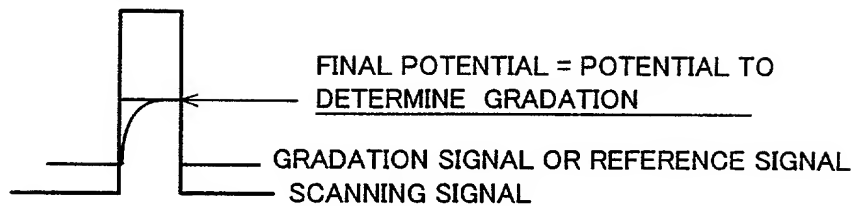


FIG. 3 (b)

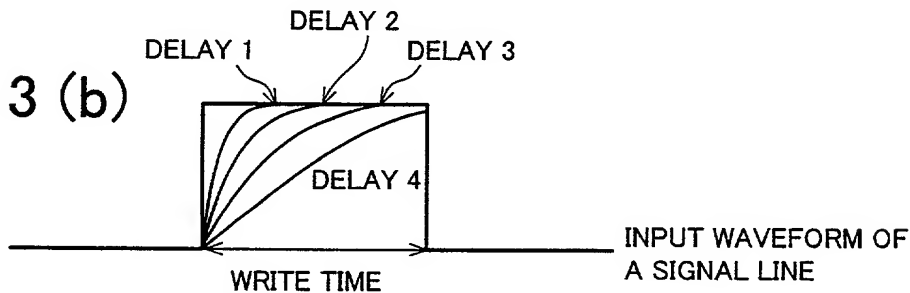
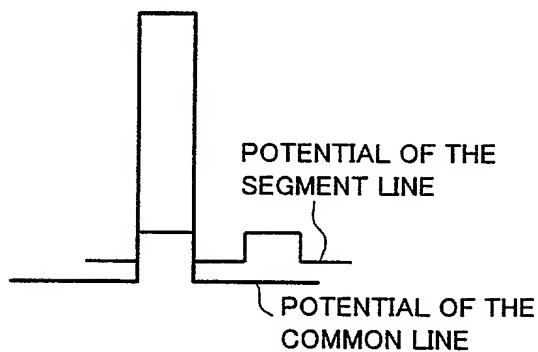
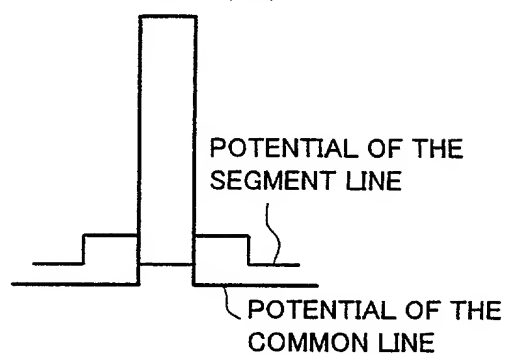


FIG. 3 (c)



BLACK DISPLAY  
 (THE CASE OF NORMALLY BLACK)

FIG. 3 (d)



WHITE DISPLAY  
 (THE CASE OF NORMALLY WHITE)

FIG. 3 (e)

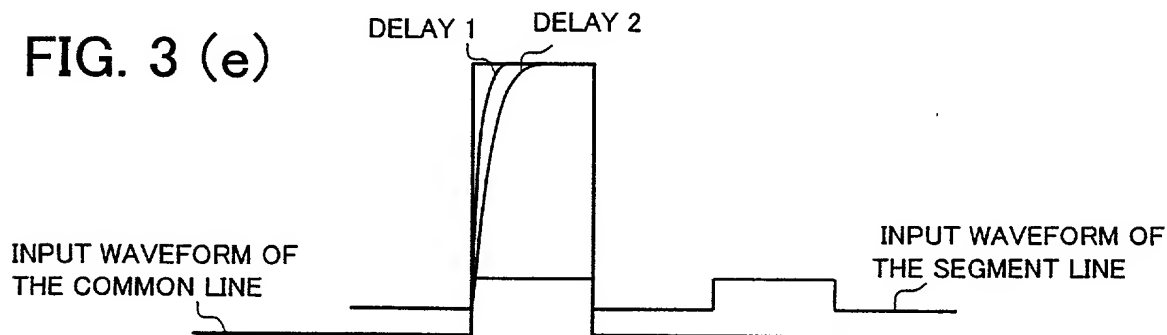


FIG. 4

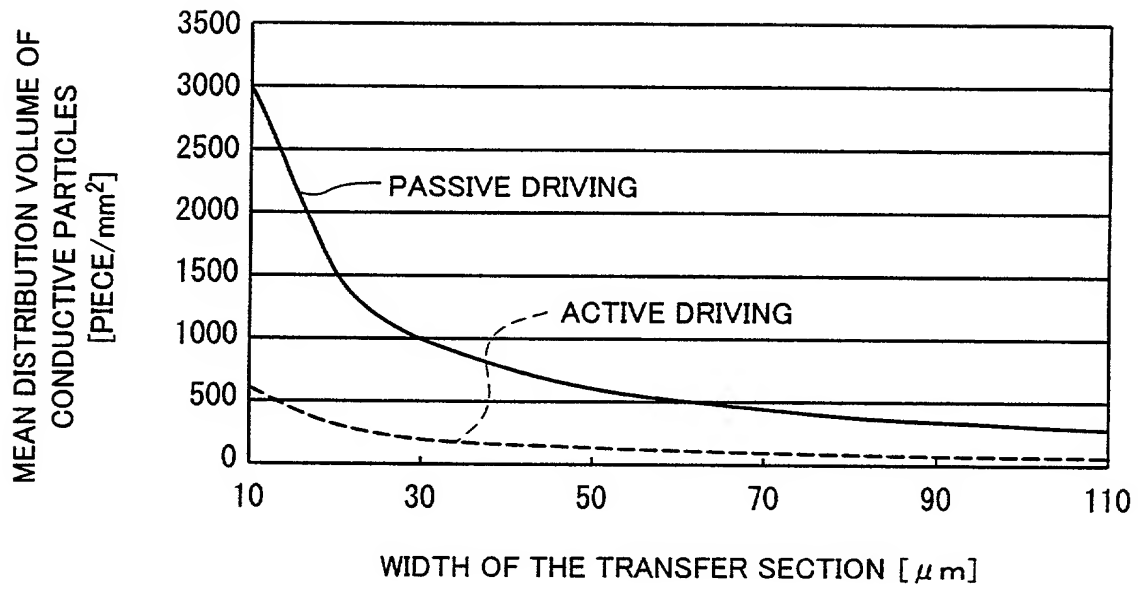


FIG. 5

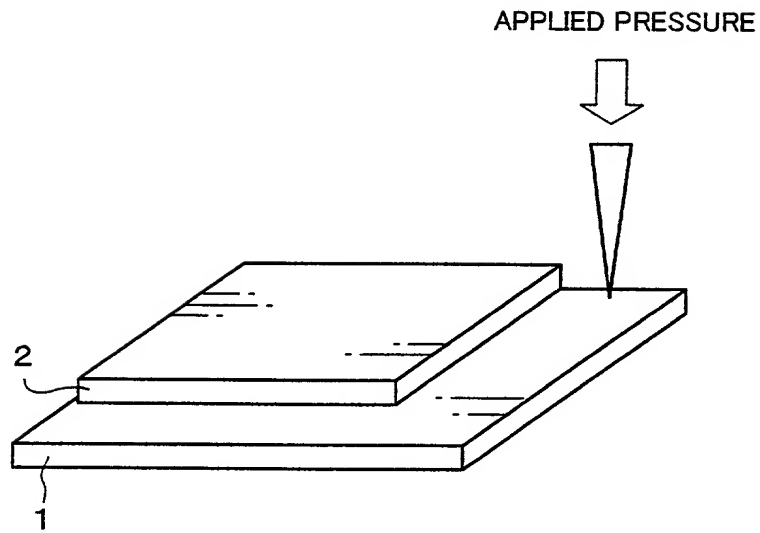


FIG. 6 (a)

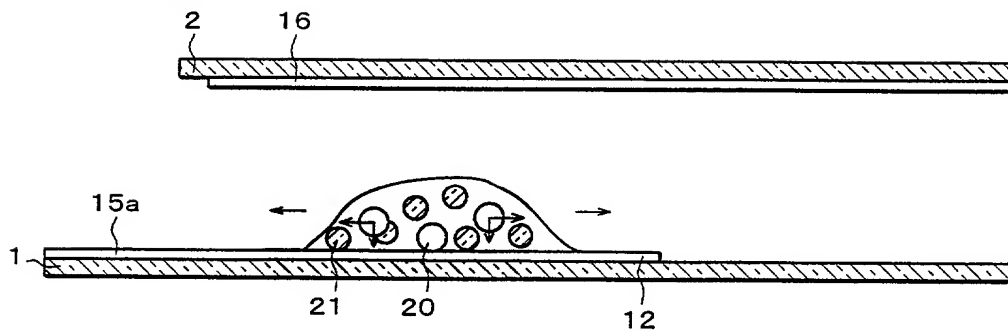


FIG. 6 (b)

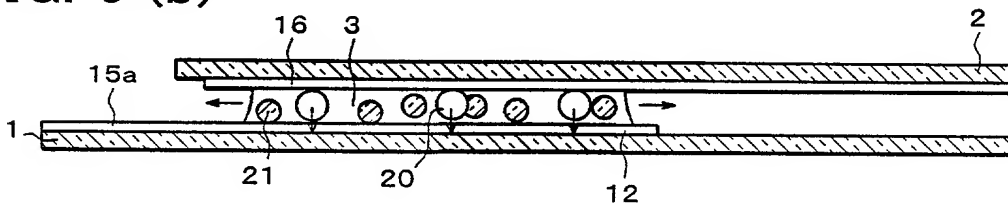


FIG. 6 (c)

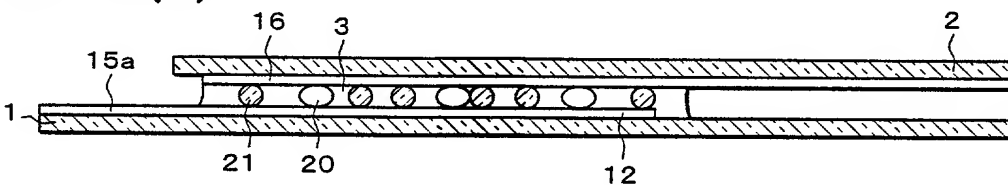


FIG. 6 (d)

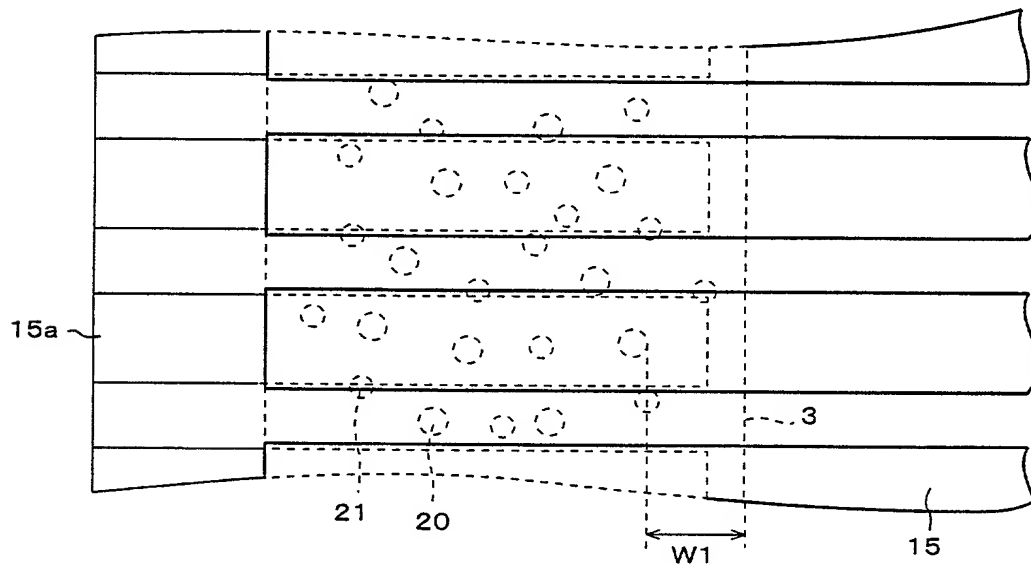


FIG. 7

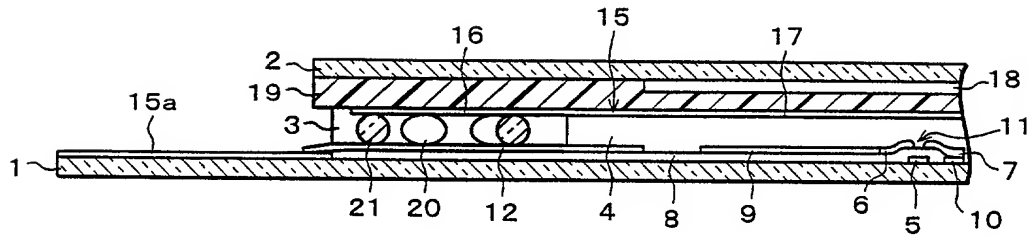




FIG. 8 (a)

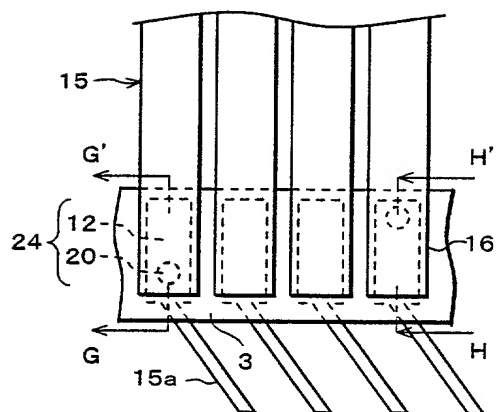


FIG. 8 (d)

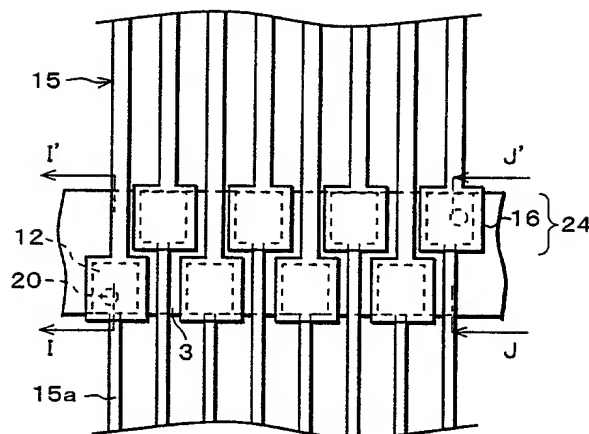


FIG. 8 (b)

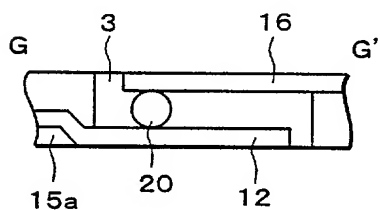


FIG. 8 (e)

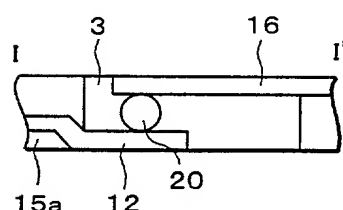


FIG. 8 (c)

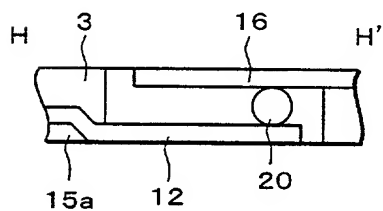


FIG. 8 (f)

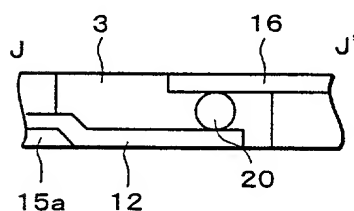


FIG. 9 (a)

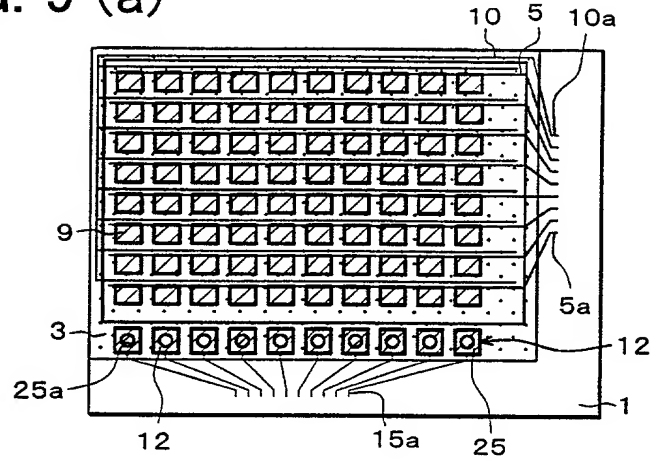


FIG. 9 (b)

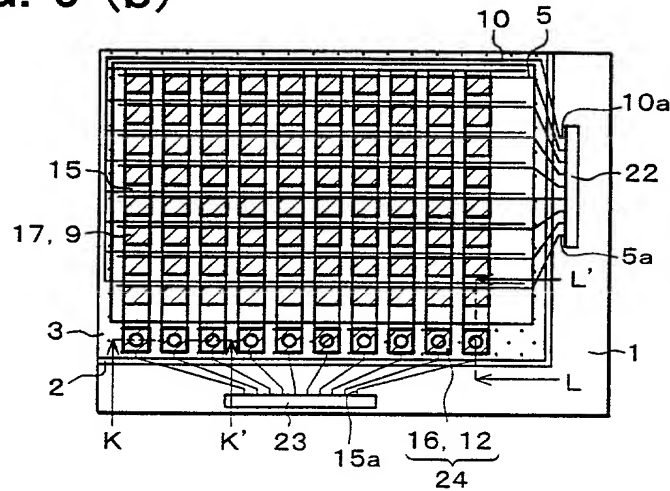


FIG. 9 (c)

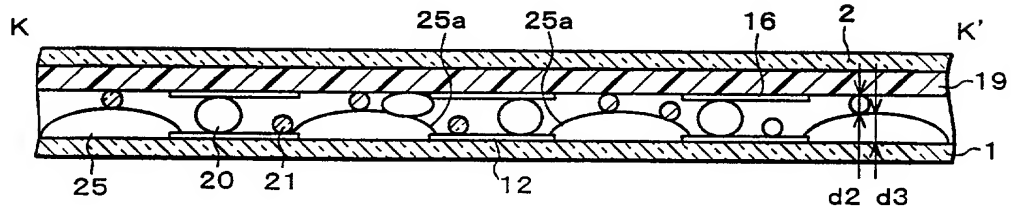


FIG. 9 (d)

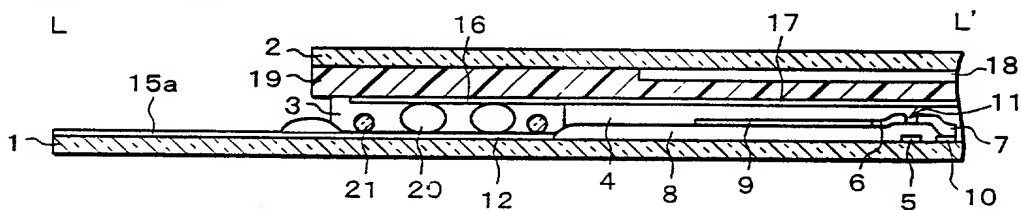


FIG. 10 (a)

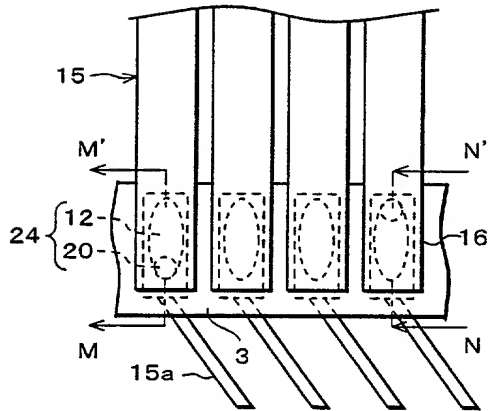


FIG. 10 (d)

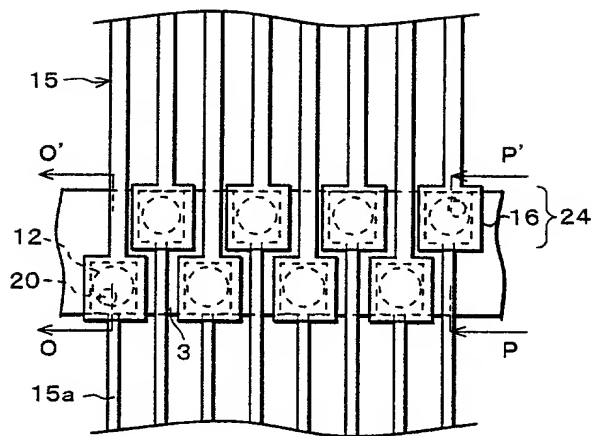


FIG. 10 (b)

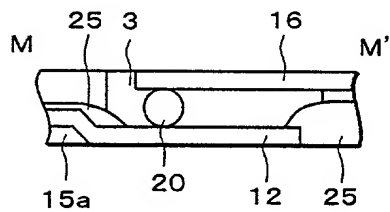


FIG. 10 (e)

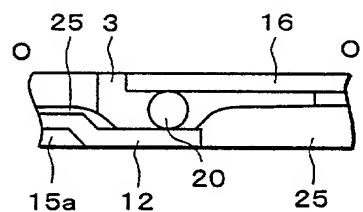


FIG. 10 (c)

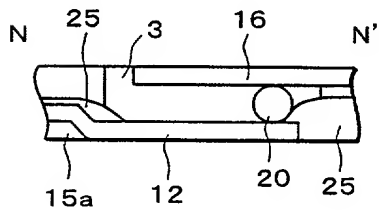


FIG. 10 (f)

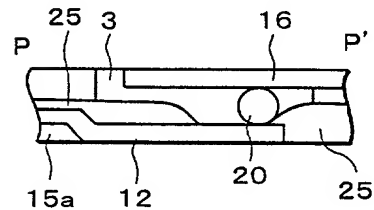


FIG. 11

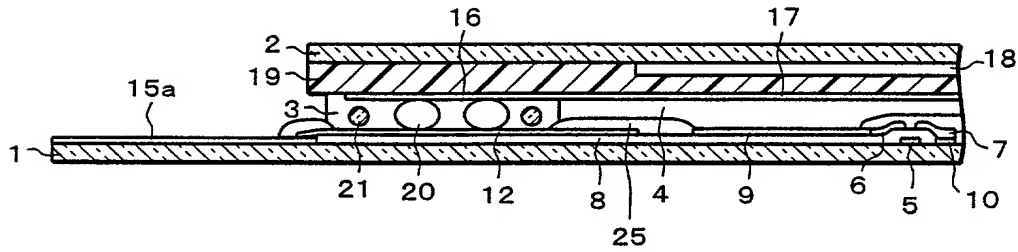


FIG. 12 (a)

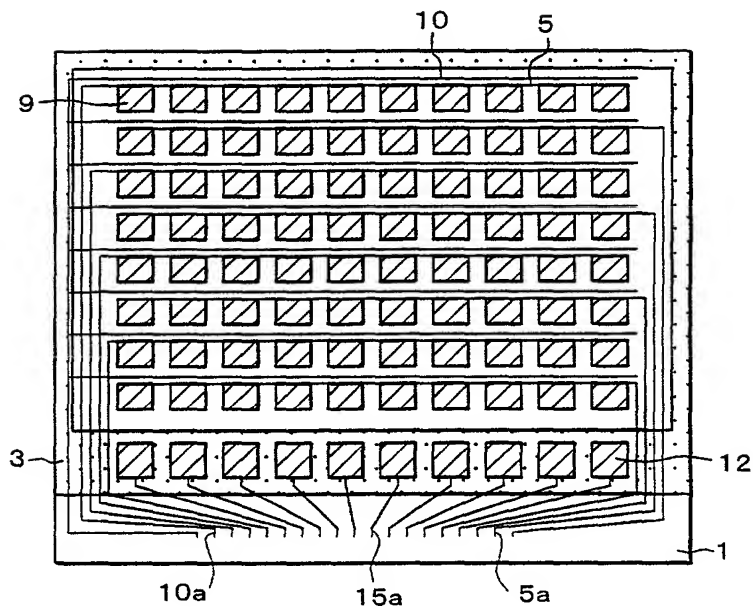
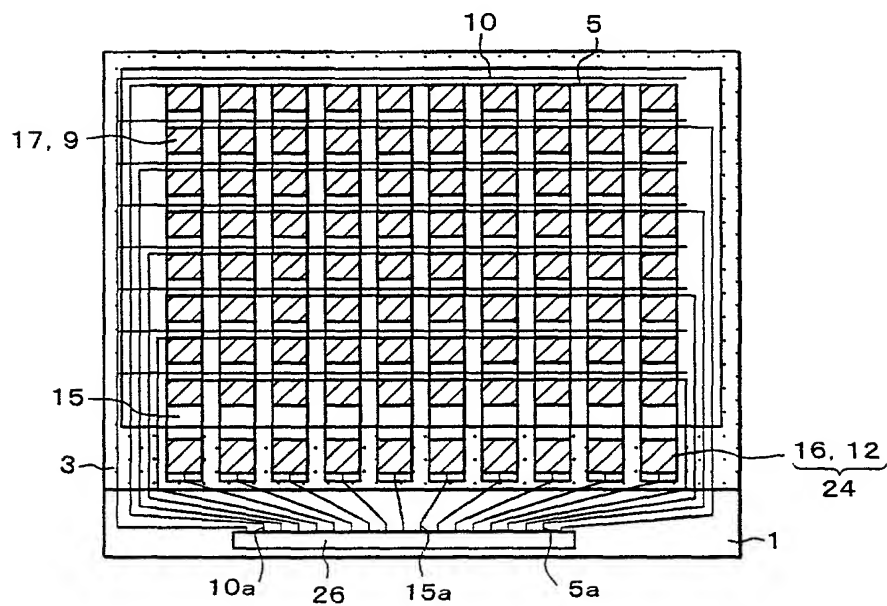


FIG. 12 (b)



**FIG. 13 (a)**

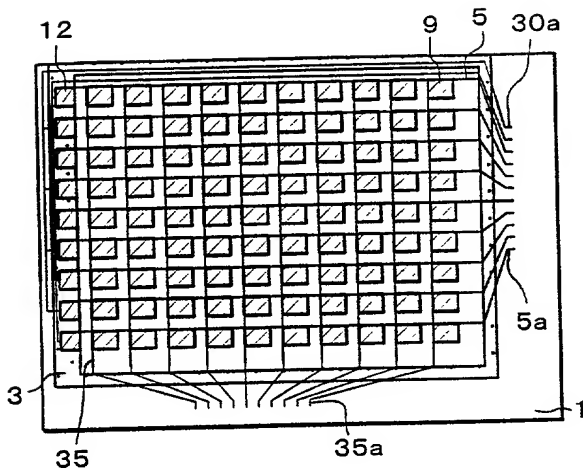


FIG. 13 (b)

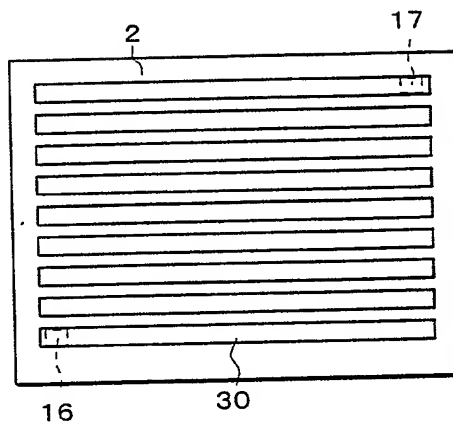


FIG. 13 (c)

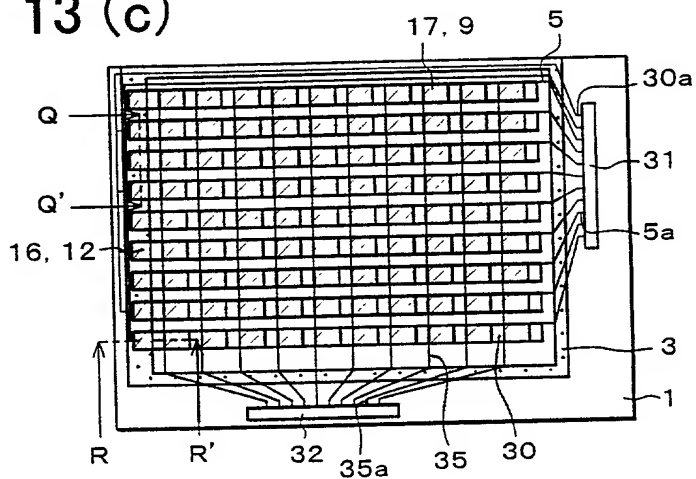


FIG. 13 (d)

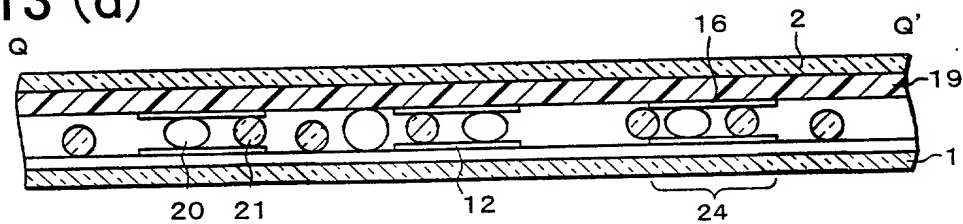


FIG. 13 (e)

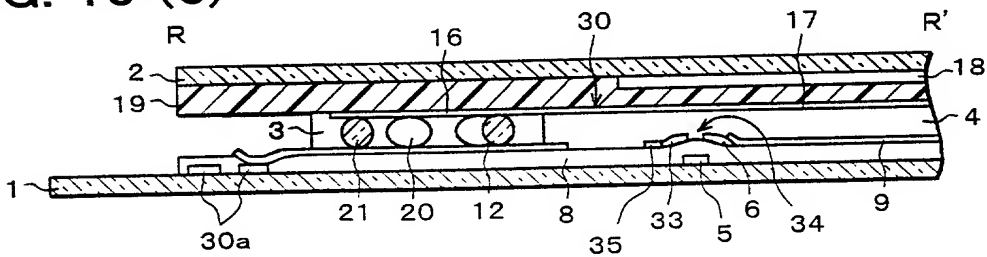


FIG. 14 (a)

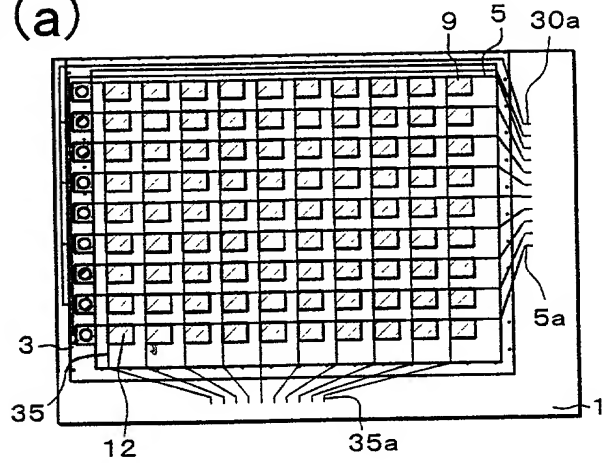


FIG. 14 (b)

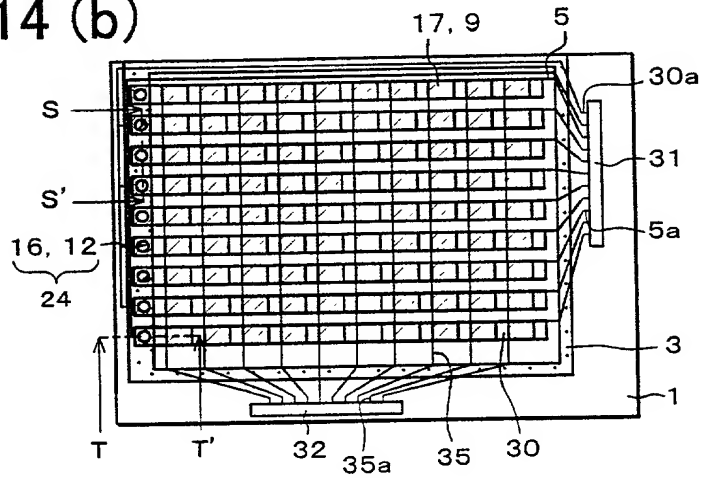


FIG. 14 (c)

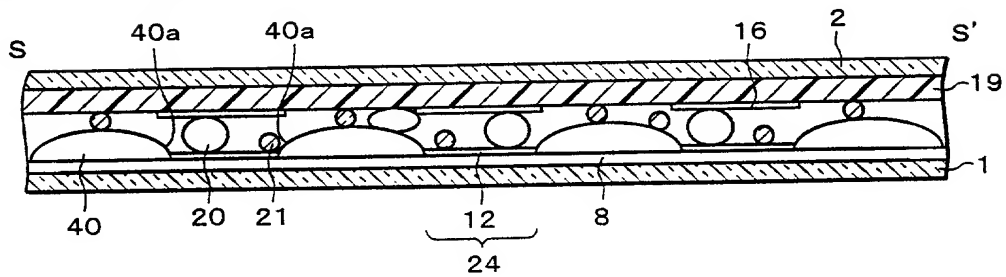


FIG. 14 (d)

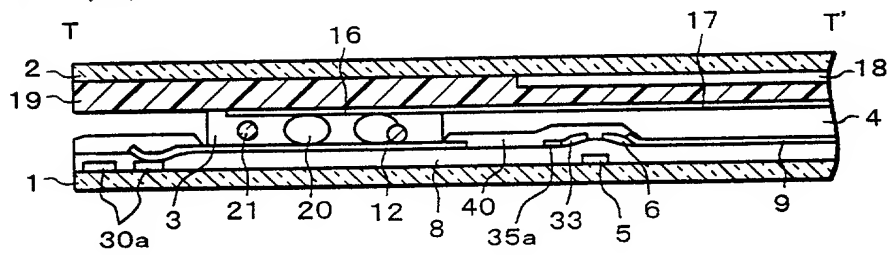


FIG. 15 (a)

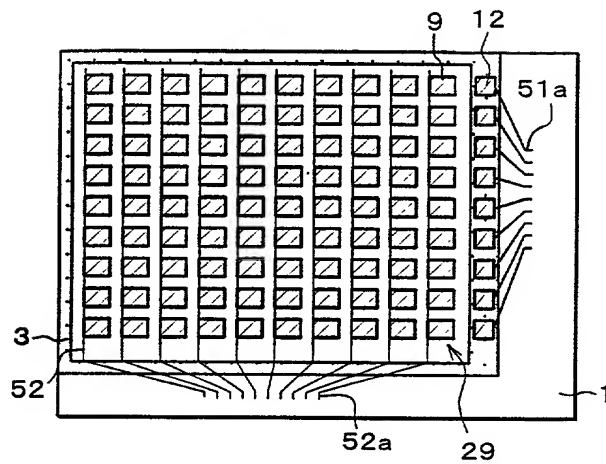


FIG. 15 (b)

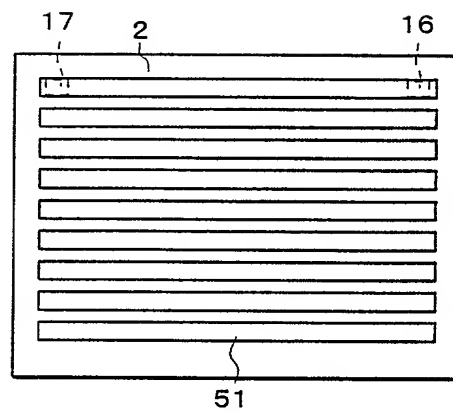


FIG. 15 (c)

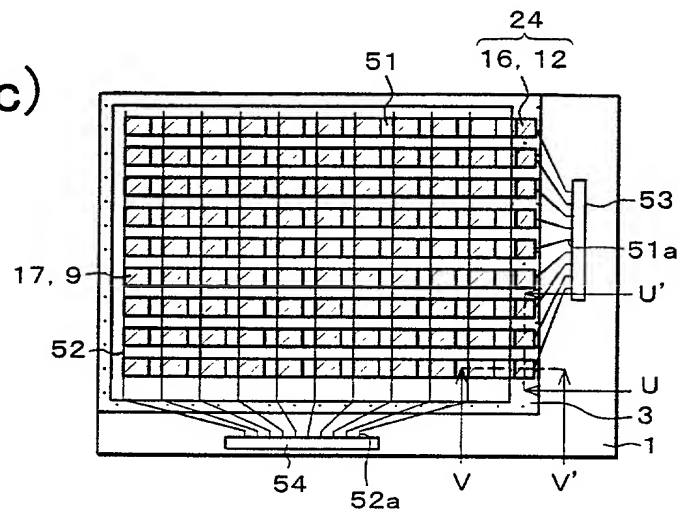


FIG. 15 (d)

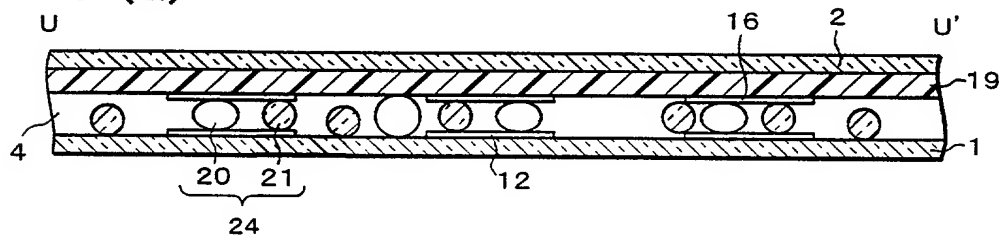


FIG. 15 (e)

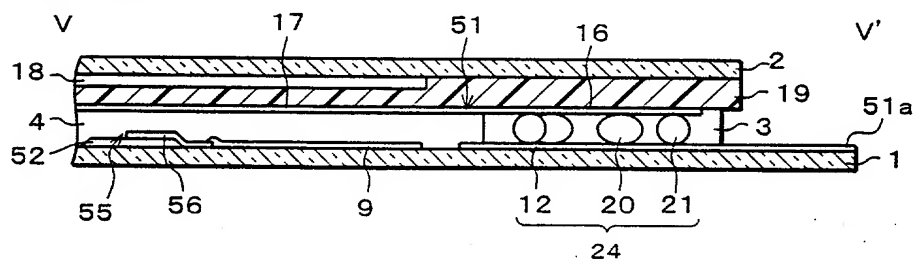




FIG. 16

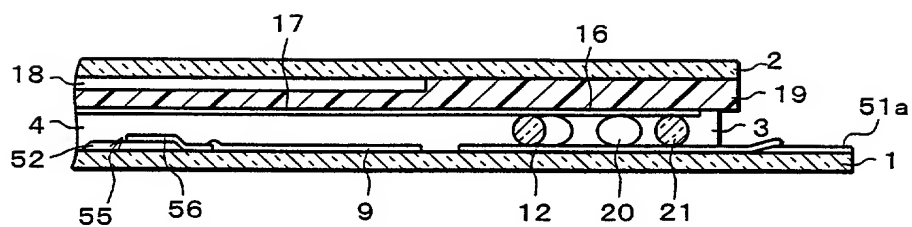


FIG. 17  
(PRIOR ART)

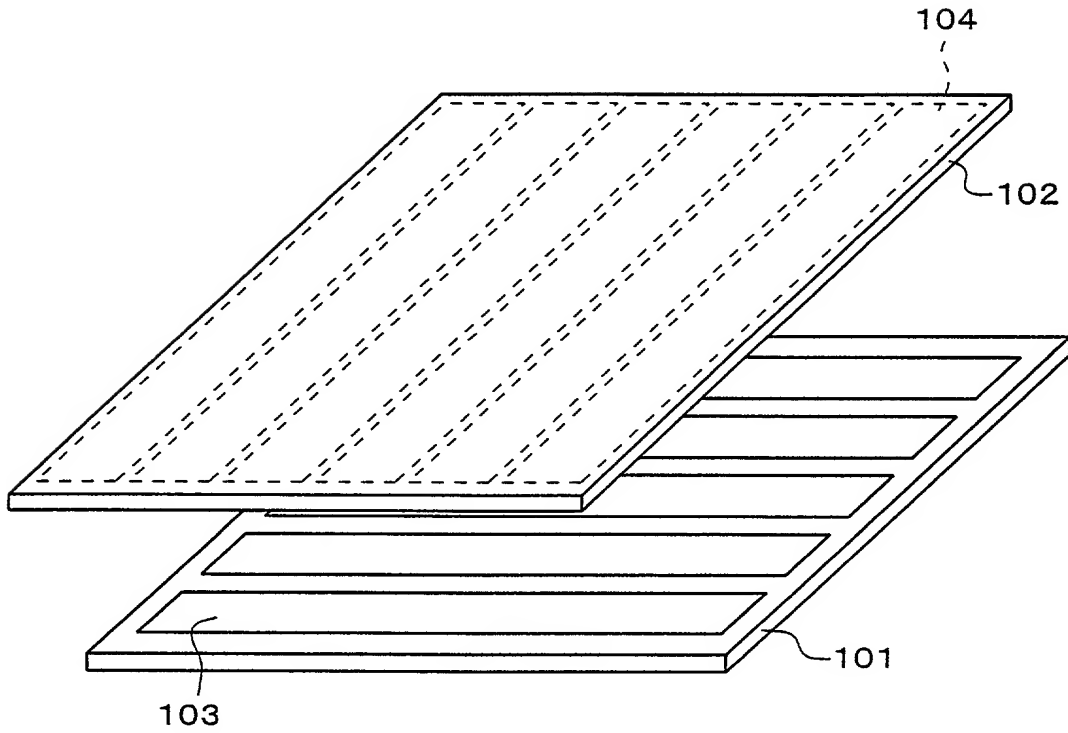
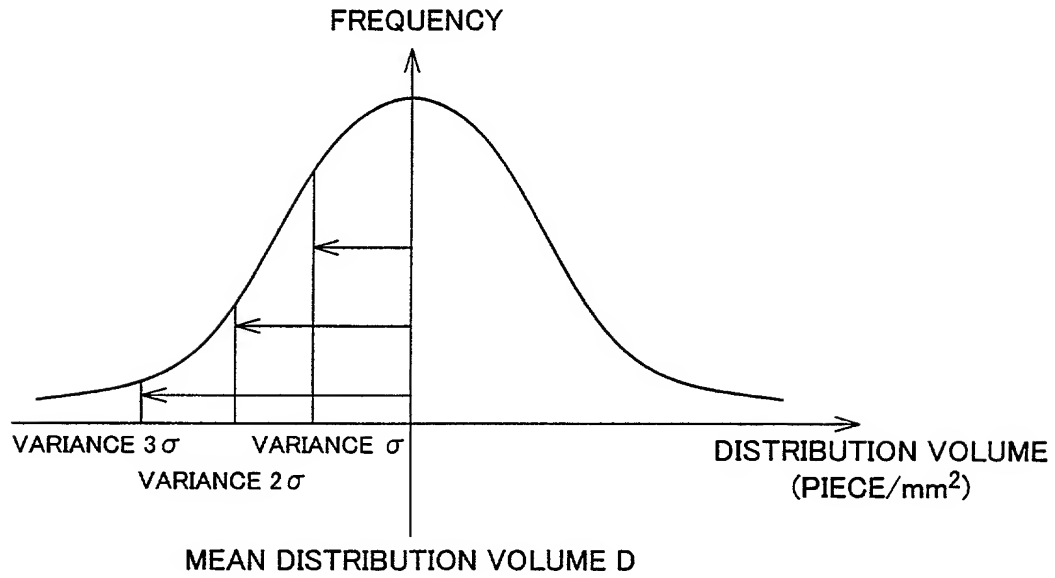


FIG. 17 (PRIOR ART) is a perspective view of a multi-layered structure. It consists of a bottom layer 101 and a top layer 102. The bottom layer 101 has a series of parallel rectangular openings 103. The top layer 102 is positioned above the bottom layer 101, and its edges are indicated by dashed lines 104.

FIG. 18  
(PRIOR ART)



NORMAL DISTRIBUTION OF DISTRIBUTED  
CONDUCTIVE PARTICLES

22

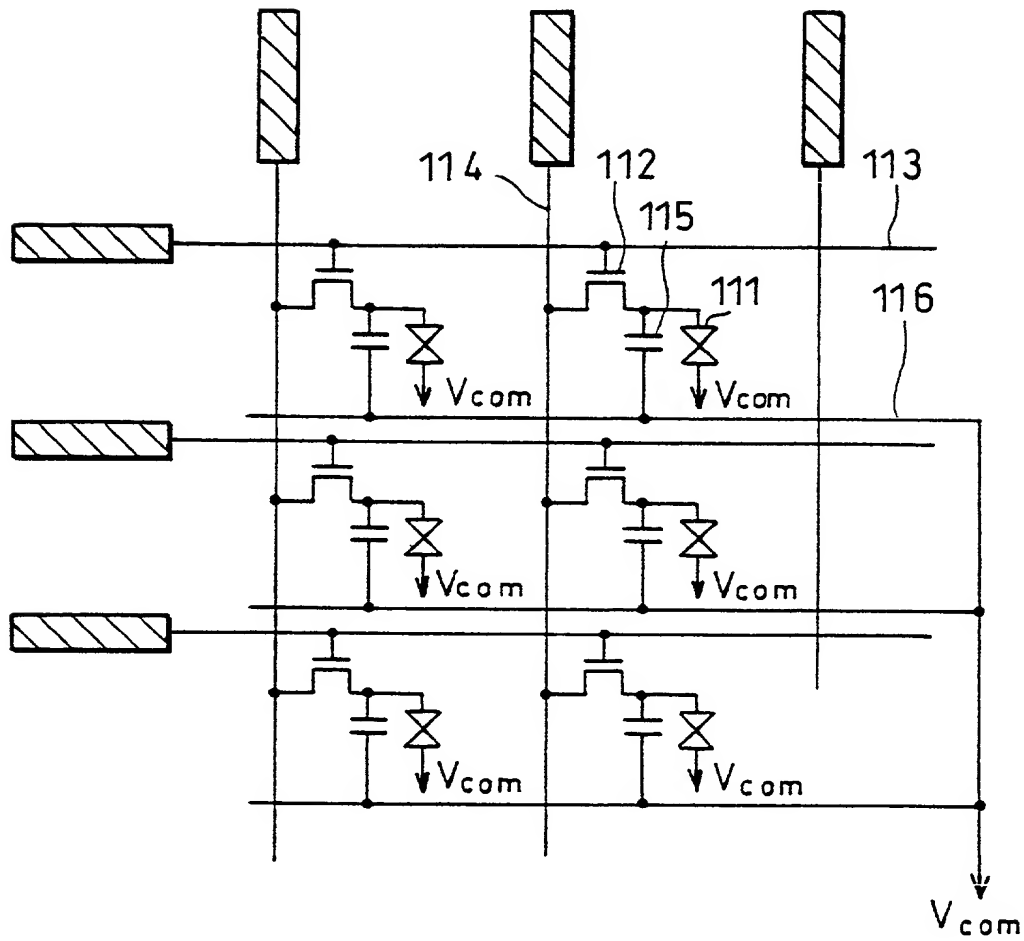


FIG. 20  
(PRIOR ART)

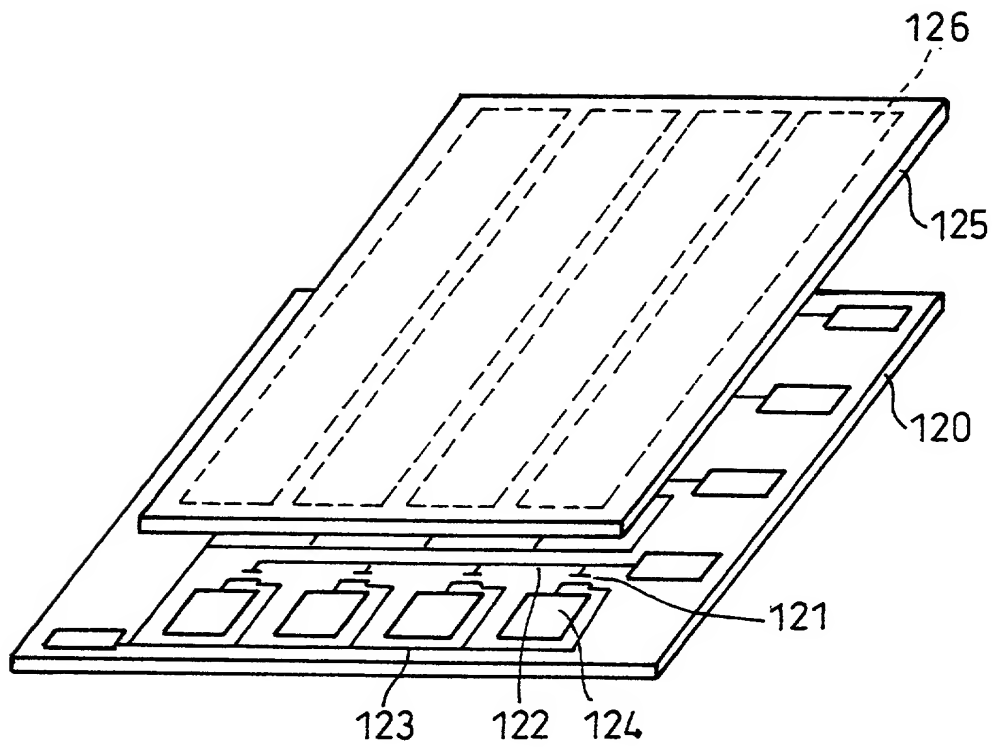


FIG. 21 (a)  
 (PRIOR ART)

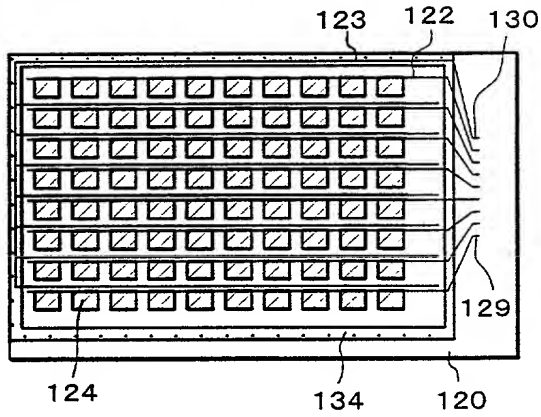


FIG. 21 (b)  
 (PRIOR ART)

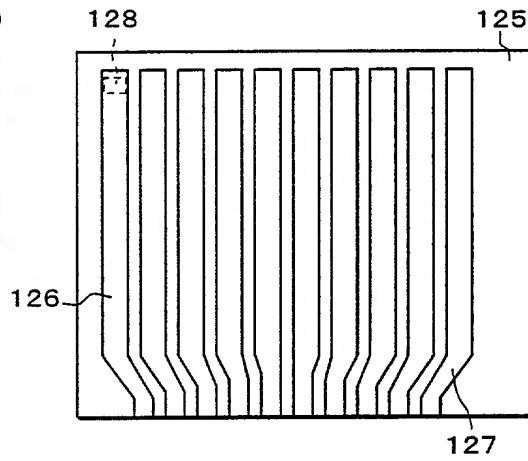


FIG. 21 (c)  
 (PRIOR ART)

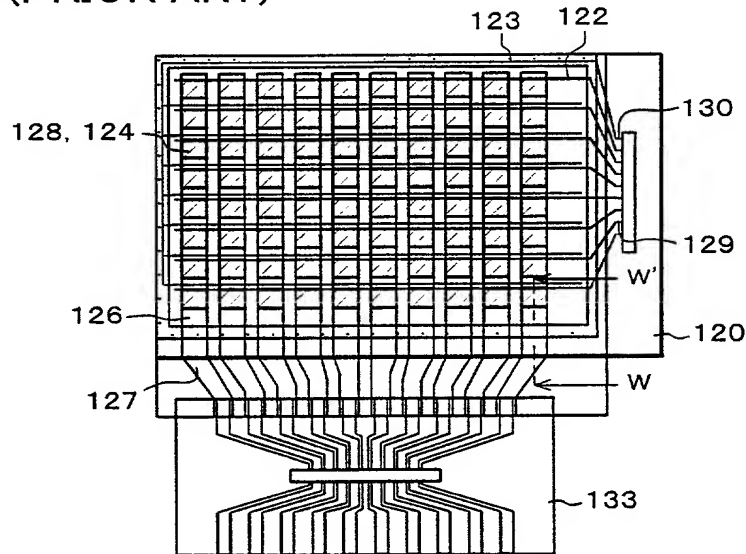


FIG. 21 (d)  
 (PRIOR ART)

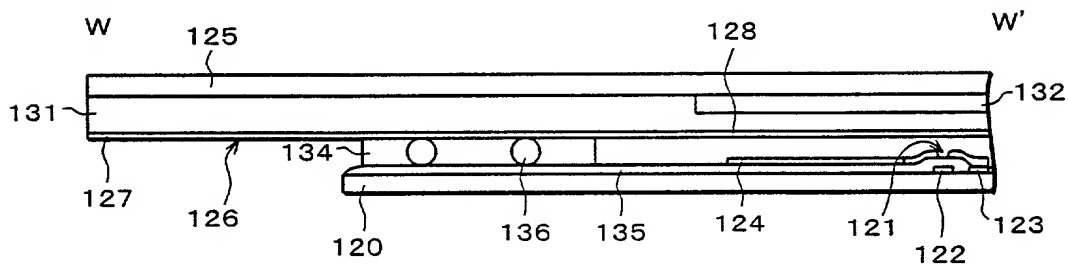


FIG. 22

